



# UNIVERZITA KOMENSKÉHO V BRATISLAVE

Fakulta matematiky, fyziky a informatiky

Mgr. Zdenka Kalaninová

Autoreferát dizertačnej práce

## Alfa rozpad neutrónovo-deficitných izotopov rádia a francia

na získanie akademického titulu philosophiae doctor  
v odbore doktorandského štúdia:  
**4.1.5. jadrová a subjadrová fyzika**

Bratislava 2014

Dizertačná práca bola vypracovaná v dennej forme doktorandského štúdia na Katedre jadrovej fyziky a biofyziky.

**Predkladateľ:** **Mgr. Zdenka Kalaninová**  
Univerzita Komenského  
Fakulta matematiky, fyziky a informatiky  
Katedra jadrovej fyziky a biofyziky  
Mlynská dolina, 842 48 Bratislava

**Školiteľ:** **doc. Mgr. Stanislav Antalic, PhD.**

**Oponenti:** **Ing. Štefan Gmuca, CSc.**  
Fyzikálny ústav SAV  
Slovenská akadémia vied  
Dúbravská cesta 9, 845 11 Bratislava

**Ing. Ján Kliman, DrSc.**  
Fyzikálny ústav SAV  
Slovenská akadémia vied  
Dúbravská cesta 9, 845 11 Bratislava

**prof. Ing. Vladimír Nečas, PhD.**  
Ústav jadrového a fyzikálneho inžinierstva  
Fakulta elektrotechniky a informatiky STU  
Ilkovičova 3, 812 19 Bratislava

**Obhajoba dizertačnej práce sa koná ..... o ..... h**  
pred komisiou pre obhajobu dizertačnej práce v odbore doktoranského štúdia  
vymenovanou predsedom odborovej komisie .....

.....  
na .....

Predseda odborovej komisie:  
.....

# Obsah

<b>1</b>	<b>Úvod</b>	<b>2</b>
<b>2</b>	<b>Ciele práce</b>	<b>2</b>
<b>3</b>	<b>Experimentálny setup</b>	<b>3</b>
4.1	SHIP . . . . .	3
4.2	Detektory . . . . .	3
<b>4</b>	<b>Výsledky</b>	<b>3</b>
5.1	Reakcia $^{56}\text{Fe} + ^{147,149}\text{Sm}$ . . . . .	4
5.2	Reakcia $^{60}\text{Ni} + ^{141}\text{Pr}$ . . . . .	9
<b>5</b>	<b>Záver</b>	<b>11</b>
	Summary	11
	Publikácie	14
	Literatúra	19

# 1 Úvod

Štruktúra atómového jadra je predmetom výskumu už od roku 1911, kedy bolo jadro objavené E. Rutherfordom [Rut11]. Súčasné teoretické modely popisujú vlastnosti známych jadier veľmi dobre. Mnohé modely sú založené na semi-empirickom prístupe a využívajú parametre získané z fitovania experimentálnych dát. Nezriedka sa predpovede rôznych modelov výrazne líšia pre jadrá, ktoré neboli dosiaľ experimentálne študované. Aby bolo možné pochopiť štruktúru atómových jadier a optimalizovať jadrové modely, je nevyhnutné produkovať a študovať nové jadrá ďaleko od línie  $\beta$  stability.

V oblasti neutrónovo-deficitných jadier v okolí protónovej uzavretej vrstvy  $Z = 82$  je možné študovať viaceré fenomény, ktoré dosiaľ nie sú dostatočne pochopené. Ide napríklad o existenciu stavov s rôznou deformáciou v rámci jedného jadra, výrazné deformačné zmeny medzi susednými izotopmi, alebo zriedkavý proces jadrovej premeny — oneskorené štiepenie po  $\beta$  premene. Jadrá z danej oblasti majú veľmi krátke doby polpremeny a nízke účinné prierezy, preto na ich štúdium potrebujeme vysoko citlivé experimentálne zariadenia.

Na separátore SHIP v GSI, Darmstadt (Nemecko) sme nedávno realizovali experimenty zamerané na štúdium jadier z okolia  $Z = 82$  — neutrónovo-deficitných izotopov rádia ( $Z = 88$ ) a francia ( $Z = 87$ ). Výsledky meraní sú témou tejto dizertačnej práce.

# 2 Ciele práce

Dizertačná práca sa zameriava na štúdium rozpadových vlastností neutrónovo-deficitných izotopov rádia a francia metódami  $\alpha$  a  $\gamma$  spektroskopie. Dáta pre tieto izotopy boli zberané v dvoch experimentoch realizovaných na rýchlosnom filtri SHIP v GSI, Darmstadt použijúc reakcie  $^{56}\text{Fe} + ^{147,149}\text{Sm}$  a  $^{60}\text{Ni} + ^{141}\text{Pr}$ . Konkrétnie ciele práce sú:

V reakciách  $^{56}\text{Fe} + ^{147,149}\text{Sm}$ :

- Štúdium rozpadových vlastností izotopov  $^{201-203}\text{Ra}$  a  $^{200-202}\text{Fr}$ . Pre niektoré z týchto nuklidov (najmä izotopy rádia) je dosiaľ známych len veľmi málo informácií. Navyše je nesúlad medzi niektorými publikovanými dátami (napr. pre izotop  $^{202}\text{Ra}$ ). Výsledky našich meraní by mali priniesť podrobnejšie informácie o rozpadových vlastnostiach uvedených izotopov.

- Overiť produkciu nového izotopu  $^{200}\text{Ra}$  v reakcii  $^{56}\text{Fe} + ^{147}\text{Sm}$ .

V reakcii  $^{60}\text{Ni} + ^{141}\text{Pr}$ :

- Štúdium rozpadových vlastností izotopov  $^{198-199}\text{Fr}$ . Pokiaľ vieme, pre  $^{198}\text{Fr}$  neboli pred našou štúdiou publikované žiadne experimentálne informácie, a pre  $^{199}\text{Fr}$  bolo pozorovaných len päť rozpadových reťazcov [Tag99].
- Overiť produkciu nového izotopu  $^{197}\text{Fr}$  v danej reakcii.

## 3 Experimentálny setup

### 3.1 SHIP

Jadrá skúmané v tejto práci boli produkované na rýchlosnom filtri SHIP v GSI, Darmstadt (Nemecko). SHIP je elektromagnetický vákuový separátor navrhnutý na prieletovú separáciu produktov reakcií úplnej fúzie [Mün79]. Zväzky sú dodávané z lineárneho urýchľovača UNILAC, ktorý dokáže poskytnúť zväzok každého stabilného prvku až po urán s energiou do 20 MeV/u. Pre naše merania bola typická intenzita zväzku  $\sim 500 \text{ pnA}$ . Terče sú tenké fólie s hrúbkou  $\sim 0.4 \text{ mg/cm}^2$ . Terčový materiál je naparený na tenkú uhlíkovú fóliu a je prirkytý ďalšou uhlíkovou fóliou kvôli zníženiu radiačného poškodenia a zvýšeniu emisivity terča.

### 3.2 Detektory

Po prelete cez separátor sú jadrá implantované do 16-stripového polohovocitlivého kremíkového detektora (PSSD) s hrúbkou  $300 \mu\text{m}$  a aktívou plochou  $(80 \times 35) \text{ mm}$ . Energetické rozlíšenie pre  $\alpha$  častice je  $\sim 30 \text{ keV}$  (FMHM). Účinnosť registrácie  $\alpha$  častíc s plnou energiou je  $\sim 54\%$ . Blízko pred PSSD (proti smeru zväzku) je umiestnených šesť kremíkových (tzv. ‘BOX’) detektorov. Registrujú častice unikuté z PSSD v spätnom smere s geometrickou účinnosťou 80 % z  $2\pi$ . Energetické rozlíšenie  $\alpha$  častíc meraných systémom PSSD + BOX je  $\sim 70 \text{ keV}$  (FWHM). Na registráciu  $\gamma$  kvánt slúži 4-kryštálový germániový detektor umiestnený tesne za PSSD (v smere zväzku). Účinnosť detektie  $\gamma$  kvánt s energiou 120 keV je  $\sim 10\%$ .

## 4 Výsledky

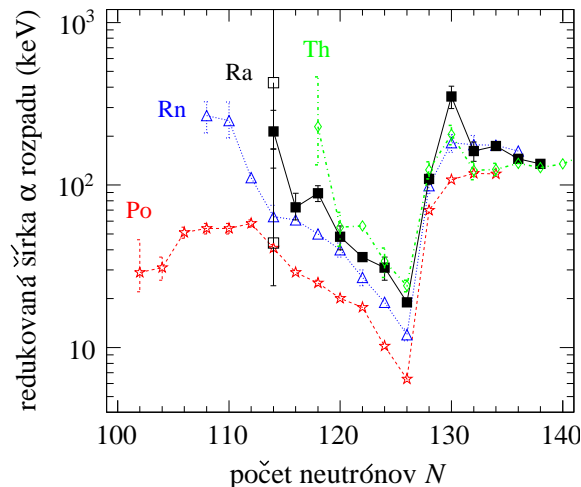
V práci sú prezentované a diskutované výsledky dvoch experimentov realizovaných na separátore SHIP v GSI (Darmstadt). Obe merania boli zamerané na štúdium neutrónovo-deficitných izotopov v oblasti olova ( $Z =$

82). Izotopy boli produkované vo fúzno-výparných reakciach  $^{56}\text{Fe} + ^{147,149}\text{Sm}$  a  $^{60}\text{Ni} + ^{141}\text{Pr}$ . Výsledky analýz boli publikované v časopise *Phys. Rev. C* [Kal13, Kal14] a sú stručne zhrnuté pre jednotlivé izotopy v nasledujúcich sekciách.

## 4.1 Reakcia $^{56}\text{Fe} + ^{147,149}\text{Sm}$

### 4.1.1 Izotop $^{202}\text{Ra}$

Doteraz boli registrované iba dve jadrá izotopu  $^{202}\text{Ra}$ , pričom každé v inom experimente [Lei96, Uus05]. Energie  $\alpha$  rozpadov a doby polpremení z týchto meraní boli výrazne rozdielne, čo viedlo k rozdielnym hodnotám redukovaných šírok ( $430_{-260}^{+2020}$  keV [Lei96] a  $44_{-20}^{+83}$  keV [Uus05]). Jedna hodnota naznačovala klesajúci trend redukovaných šírok pre párnno-párne izotopy rádia s klesajúcim počtom neutrónov, a druhá, naopak, rastúci trend (viď Obr. 1).



Obr. 1: Systematika redukovaných šírok  $\alpha$  rozpadov párnno-párnych izotopov od polónia ( $Z = 84$ ) po tórium ( $Z = 90$ ) v blízkosti uzavretej vrstvy  $N = 126$ . Hodnoty redukovaných šírok okrem hodnôt pre  $^{202}\text{Ra}$  sú z Refs. [And13, Her10, mndc]. Pre  $^{202}\text{Ra}$ , čierne prázdne štvorčeky reprezentujú predošlé merania [Lei96, Uus05] a čierny plný štvorček je hodnota z našich dát.

V našom meraní sme v reakcii  $^{56}\text{Fe} + ^{149}\text{Sm}$  registrovali 16 rozpadov, ktoré sme na základe korelácií s rozpadmi dcérskych izotopov  $^{198}\text{Rn}$  a  $^{194}\text{Po}$  priradili izotopu  $^{202}\text{Ra}$ . Meraná energia  $\alpha$  rozpadu pre tento izotop bola  $7722(7)$  keV a doba polpremeny  $3.8_{-0.8}^{+1.3}$  ms. Maximálny účinný prierez,  $0.2(1)$  nb, bol nameraný pri energii zväzku  $244$  MeV. Redukovaná šírka  $\alpha$  rozpadu  $^{202}\text{Ra}$  vyhodnotená z našich dát,  $210_{-50}^{+70}$  keV, potvrdzuje stúpajúci trend redukovaných

šírok s klesajúcim počtom neutrónov pre párno-párne izotopy rádia (viď Obr. 1).

#### 4.1.2 Izotop $^{201}\text{Ra}$

Pred našou štúdiou bol identifikovaný len jeden rozpadový reťazec priradený izotopu  $^{201}\text{Ra}$ . Event bol registrovaný na separátore RITU na Univerzite v Jyväskylä (JYFL) [Uus05]. Rozpad s energiou 7905(20) keV a dobu polpremeny  $1.6^{+7.7}_{-0.7}$  ms bol priradený stavu  $13/2^+$ .

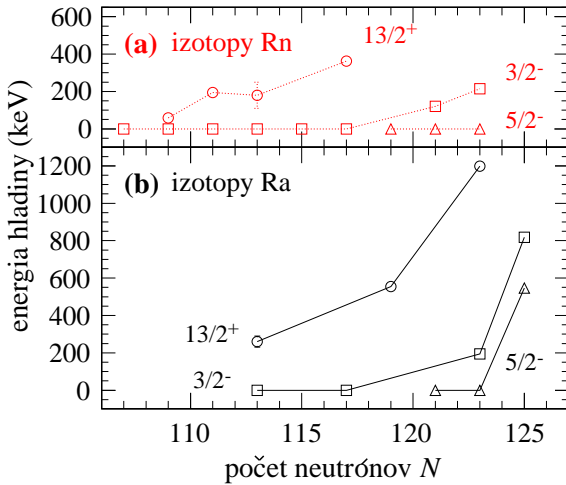
V našich meraniach sme v reakcii  $^{56}\text{Fe} + ^{147}\text{Sm}$  pri energii zväzku 249 MeV registrovali tiež jeden rozpadový reťazec, ktorý sme priradili izotopu  $^{201}\text{Ra}$ . Meraná energia  $\alpha$  rozpadu  $^{201}\text{Ra}$  bola 7842(12) keV a doba polpremeny  $8^{+40}_{-4}$  ms. Alfa rozpad dcérskych jadier  $^{197}\text{Rn}$  a  $^{193}\text{Po}$  sme priradili stavom  $3/2^-$ . Na základe porovnania redukovaných šírok  $\alpha$  rozpadu  $^{201}\text{Ra}$  a okolitých izotopov sme pozorovaný rozpad  $^{201}\text{Ra}$  vyhodnotili ako nepotlačený, a teda sme ho priradili tiež stavu  $3/2^-$ . Pripomíname, že energie a doby polpremeny  $^{201}\text{Ra}$  vyhodnotené z našich dát a z experimentu na RITU [Uus05] sú rozdielne, a každý rozpad bol priradený inej hladine. Hlinám  $13/2^-$  v dcérskych jadrách  $^{189}\text{Pb}$ ,  $^{193}\text{Po}$  a  $^{197}\text{Rn}$  bola nedávno priradená hodnota excitačnej energie [Sau13], čo nám umožnilo lokalizovať tento stav v  $^{201}\text{Ra}$  na 260(30) keV. Účinný prierez produkcie  $^{201}\text{Ra}$  pri energii zväzku 249 MeV bol  $40^{+80}_{-30}$  pb.

Vo väčšine ľahkých párno-nepárnych izotopov rádia a ich dcérskych produktov  $\alpha$  premeny, izotopov radónu, je spin a parita základného stavu  $3/2^-$  (viď Obr. 2). Ale stav  $13/2^+$  má klesajúci trend s klesajúcim počtom neutrónov, a v najviac neutrónovo-deficitných oblastiach môžeme očakávať, že tieto hladiny majú veľmi blízke energie, prípadne aj vymenené poradie.

#### 4.1.3 Izotop $^{203}\text{Ra}$

Predchádzajúce dáta pre izotop  $^{203}\text{Ra}$  boli získané v dvoch experimentoch na RITU v JYFL [Lei96, Uus05]. V prvom experimente bolo registrovaných sedem rozpadových reťazcov [Lei96] a v druhom niekoľko desiatok [Uus05]. V oboch meraniach boli rozpady priradené stavom  $3/2^-$  a  $13/2^+$ . Rozpadové vlastnosti z oboch štúdií sa zhodujú až na dobu polpremeny stavu  $3/2^-$ :  $1.0^{+5.0}_{-0.5}$  ms [Lei96] a  $31^{+17}_{-9}$  ms [Uus05].

My sme pozorovali v reakcii  $^{56}\text{Fe} + ^{149}\text{Sm}$  deväť rozpadov  $^{203}\text{Ra}$ , z čoho päť sme priradili stavu  $3/2^-$  a štyri stavu  $13/2^+$ . Maximálny účinný prierez produkcie pre súčet oboch stavov je 0.2(1) nb pri energii zväzku 244 MeV. Pomer rozpadov zo stavov  $13/2^+$  a  $3/2^-$  z našich dát je 0.8(5). Naopak, v predchádzajúcich meraniach bolo pozorovaných viac rozpadov zo stavu



Obr. 2: Systematika jednočasticových hladín pre párnno-nepárne izotopy (a) radónu ( $Z = 86$ ) a (b) rádia ( $Z = 88$ ). Hodnoty excitačných energií sú z Refs. [Sau13, nndc] okrem hodnoty pre  $^{201}\text{Ra}$ , ktorá je z našich dát.

$13/2^+$ ; spomínaný pomer je  $\sim 6$  [Lei96] a  $\sim 3$  [Uus05]. Rozdiel je možné pripísť nízkej štatistike vo všetkých meraniach. Poznamenávame, že poradie ani energetický rozdiel medzi stavmi  $13/2^+$  a  $3/2^-$  nie sú známe ani v  $^{203}\text{Ra}$ , ani v dcérskych izotopoch  $^{199}\text{Rn}$ ,  $^{195}\text{Po}$  a  $^{191}\text{Pb}$ .

#### 4.1.4 Izotop $^{200}\text{Ra}$

Dosiaľ nebol zaznamenaný rozpad izotopu  $^{200}\text{Ra}$ . My sme hľadali aj  $\alpha$  rozpad aj emisiu protónu z jadra  $^{200}\text{Ra}$  v reakcii  $^{56}\text{Fe} + ^{147}\text{Sm}$  pri energii zväzku 263 MeV zodpovedajúcej očakávanému maximu excitačnej funkcie pre  $^{200}\text{Ra}$ . Keďže nebol nájdený žiadny vyhovujúci reťazec, určili sme horný limit produkcie  $^{200}\text{Ra}$  v danej reakcii a pri danej energii zväzku ako 30 pb.

#### 4.1.5 Izotop $^{200}\text{Fr}$

V izotope  $^{200}\text{Fr}$  je známy stav  $3^+$  rozpadačajúci sa  $\alpha$  rozpadom. V našich meraňiach sme produkovali  $^{200}\text{Fr}$  v reakcii  $^{56}\text{Fe} + ^{147}\text{Sm}$  a potvrdili sme rozpadové vlastnosti stavu  $3^+$ . Pre dcérsky izotop  $^{196}\text{At}$ , okrem známeho  $\alpha$  prechodu s energiou 7045(5) keV zo základného stavu na základný stav v  $^{192}\text{Bi}$ , sme zaznamenali aj ďalší  $\alpha$  prechod s energiou 6732(8) keV. Z rozdielu  $Q_\alpha$  hodnôt pre oba prechody sme určili energiu stavu populovaného v  $^{192}\text{Bi}$  6732(8)-keV  $\alpha$  čiarou na 320(10) keV. Maximálny účinný prierez produkcie  $^{200}\text{Fr}$  bol meraný pri energii zväzku 263 MeV a dosahoval 1.8(2) nb.

Registrovali sme jeden vysokoenergetický event, ktorý sme priradili oneskorenému štiepeniu po  $\beta$  premene izotopu  $^{200}\text{Fr}$ . Energia štiepného eventu (nekorigovaná na nelineárnu odozvu detektora pre t'ažké fragmenty, tzv. ‘pulse height defect’) bola  $136(30)$  MeV. Vyhodnotená pravdepodobnosť procesu  $\beta$ -oneskoreného štiepenia pre  $^{200}\text{Fr}$  je viac než 1.4 %.

V koincidencii s implantovanými jadrami sme registrovali niekoľko fotónov, pričom tieto koincidenčné eventy boli nasledované  $\alpha$  rozpadmi  $^{200}\text{Fr}$ . Energie niektorých fotónov zodpovedali  $K_{\alpha 2}$  a  $K_{\alpha 1}$  RTG kvantám francia. To značí prítomnosť krátkozijúceho izoméru v  $^{200}\text{Fr}$  rozpadajúceho sa vnútornými prechodom. Doba polpremeny tohto izoméru je  $0.6^{+0.5}_{-0.2} \mu\text{s}$  a jeho excitačná energia musí byť vyššia než 101.13 keV, čo predstavuje väzbovú energiu orbitálneho elektrónu na  $K$  vrstve v atóme francia.

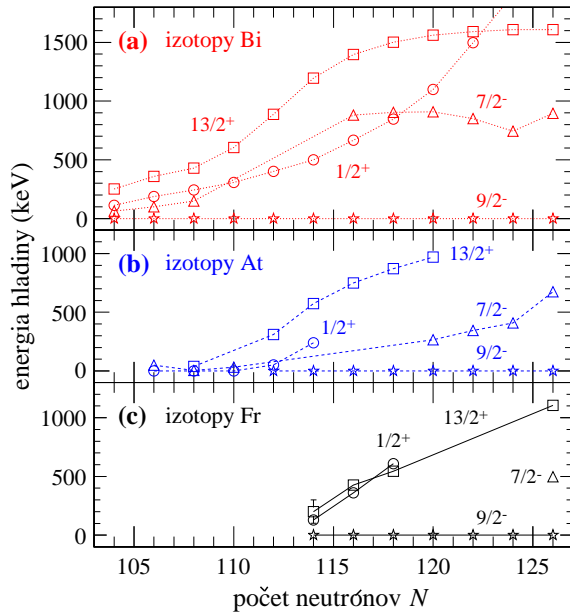
#### 4.1.6 Izotop $^{201}\text{Fr}$

V jadre  $^{201}\text{Fr}$  sú dve známe dlhožijúce hladiny rozpadajúce sa  $\alpha$  rozpadom: základný stav  $9/2^-$  a izomérny stav  $1/2^+$ . Rozpad izoméru bol identifikovaný na základe registrácie iba troch rozpadových reťazcov [Uus05].

V našich dátach sme registrovali väčšinu rozpadov  $^{201}\text{Fr}$  v reakcii  $^{56}\text{Fe} + ^{149}\text{Sm}$  a potvrdili sme rozpadové vlastnosti základného stavu  $9/2^-$ . Registrovali sme tiež tri rozpadové reťazce zo stavu  $1/2^+$ . Z rozdielu  $Q_\alpha$  hodnôt rozpadov základného a izomérneho stavu sme určili excitačnú energiu stavu  $1/2^+$  na  $130(14)$  keV. Izomerický pomer z našich dát je  $0.02(1)$ . Maximálny účinný prierez produkcie  $^{201}\text{Fr}$ ,  $4.0(4)$  nb, bol meraný pri energii zväzku 275 MeV.

Podobne ako v prípade  $^{200}\text{Fr}$ , aj pre  $^{201}\text{Fr}$  sme registrovali fotóny v koincidencii s implantovanými jadrami, ktoré boli nasledované  $\alpha$  rozpadmi  $^{201}\text{Fr}$ . Energia  $\gamma$  píku,  $85.7$  keV, zodpovedá energii  $K_{\alpha 1}$  RTG kvánt francia. Ďalsia slabšia čiara bola pozorovaná na energii  $106.3$  keV. Pozorovanie sme interpretovali ako prítomnosť krátkozijúceho izoméru s dobu polpremeny  $0.7^{+0.5}_{-0.2} \mu\text{s}$  v jadre  $^{201}\text{Fr}$  rozpadajúceho sa vnútornými prechodom. Analýzou teoretických hodnôt konverzných koeficientov a dôb polpremeny pre rôzne multipolarity prechodov sme predbežne stanovili charakter prechodu produkujúceho registrované  $K_{\alpha 1}$  RTG kvantá na  $M2$ . Ak predpokladáme, že  $M2$  prechod deexcituje izomér priamo na základný stav  $9/2^-$ , môžeme predbežne určiť spin a paritu izomérneho stavu ako  $13/2^+$ . Dolný limit pre excitačnú energiu izoméru sme určili ako  $\sim 101$  keV, keďže energia musí byť vyššia než väzbová energia orbitálneho elektrónu na  $K$  vrstve pre francium, čo je  $101.13$  keV. Horný limit pre excitačnú energiu izoméru je  $\sim 300$  keV na základe klesajúceho trendu konverzného koeficientu so stúpajúcou energiou prechodu. Excitačná energia izoméru v rozsahu  $\sim (101 - 300)$  keV potvrdzuje klesajúci trend energie hladiny  $13/2^+$  s klesajúcim počtom neutrónov pre nepárno-párne izotopy francia

(viď Obr. 3). Podobný trend pre hladinu  $13/2^+$  je zrejmý aj pre izotopy astátu a bizmutu. Uvažujúc  $M2$  prechod v  $^{201}\text{Fr}$  s energiou (101 – 300) keV, jeho  $B(M2)$  hodnota je (0.2 – 1.1) W.u.. To je porovnatelné s  $B(M2)$  hodnotami pre susedné nepárno-párne izotopy francia: 0.10(2) W.u. pre  $^{203}\text{Fr}$  [Jak13], 0.17(4) W.u. pre  $^{205}\text{Fr}$  [Jak12] a izotopy astátu: 0.09(1) pre  $^{197}\text{At}$  [And08], 0.16(5) W.u. pre  $^{199}\text{At}$  [Jak10], 0.15(1) pre  $^{201}\text{At}$  [Dyb83].



Obr. 3: Systematika jednočasticových hladín pre nepárno-párne izotopy (a) bizmutu ( $Z = 83$ ), (b) astátu ( $Z = 85$ ) a (c) francia ( $Z = 87$ ). Chybová úsečka pre stav  $13/2^+$  v  $^{201}\text{Fr}$  ( $N = 114$ ) zobrazuje možný energetický rozsah pre túto hladinu, presná hodnota nie je známa. Hodnoty excitačných energií sú z Refs. [Jak13, Jak12, nndc] okrem hodnôt pre  $^{201}\text{Fr}$ , ktoré sú z našich dát.

#### 4.1.7 Izotop $^{202}\text{Fr}$

V izotope  $^{202}\text{Fr}$  sú známe dva stavy rozpadajúce sa  $\alpha$  rozpadom: základný stav  $3^+$  a izomérny stav  $10^-$ . Oba stavy sme registrovali v reakcii  $^{56}\text{Fe} + ^{149}\text{Sm}$  a potvrdili sme ich rozpadové vlastnosti. Izomerický pomer z našich dát je 0.6(1). Maximálny účinný prierez pre sumu oboch stavov bol meraný pri energii zväzku 260 MeV a má hodnotu 25(2) nb.

## 4.2 Reakcia $^{60}\text{Ni} + ^{141}\text{Pr}$

### 4.2.1 Izotop $^{199}\text{Fr}$

Pred našou štúdiou bol rozpad izotopu  $^{199}\text{Fr}$  registrovaný iba v experimente na separátore GARIS v inštitúte RIKEN, kde bolo registrovaných päť rozpadových reťazcov s energiou  $\alpha$  rozpadu  $7655(40)$  keV a dobu polpremeny  $12_{-4}^{+10}$  ms [Tag99].

V našich meraniach sme registrovali rozpad  $^{199}\text{Fr}$  v reakcii  $^{60}\text{Ni} + ^{141}\text{Pr}$ . Zaznamenali sme jednu  $\alpha$  čiaru z rozpadu  $^{199}\text{Fr}$ , avšak korelovanú s  $\alpha$  rozpadom dvoch stavov s rôznymi spinmi a paritami v dcérskom jadre  $^{195}\text{At}$ . Navrhli sme dve interpretácie nášho pozorovania [Kal13]:

- (a) Vidíme rozpad stavu  $7/2^-$  s energiou  $7675(6)$  keV a dobu polpremeny  $6.0_{-0.7}^{+1.0}$  ms populujúci izomérnu hladinu  $7/2^-$  v dcérskom jadre  $^{195}\text{At}$ . Táto hladina sa buď rozpadá  $\alpha$  rozpadom, alebo sa deexcituje na základný stav  $1/2^+$ , ktorý sa rozpadá  $\alpha$  rozpadom. Preto vidíme korelácie  $^{199}\text{Fr}$  s rozpadom oboch stavov v  $^{195}\text{At}$ .
- (b) V  $^{199}\text{Fr}$  existujú dva stavy rozpadajúce sa  $\alpha$  rozpadom s veľmi podobnými energiami a dobami polpremen: stav  $7/2^-$  s energiou  $7676(6)$  keV a dobu polpremeny  $6.2_{-0.8}^{+1.1}$  ms populujúci stav  $7/2^-$  v  $^{195}\text{At}$  a stav  $1/2^+$  s energiou  $7664(11)$  keV a dobu polpremeny  $4.5_{-1.3}^{+3.1}$  ms populujúci stav  $1/2^+$  v  $^{195}\text{At}$ .

Vzhľadom na nízku štatistiku nemôžeme uprednostniť ani jeden zo scenárov. Maximálny účinný prierez produkcie  $^{199}\text{Fr}$  bol nameraný pri energii zväzku  $272$  MeV a mal hodnotu  $3(1)$  nb.

Niekoľko mesiacov po publikovaní našich výsledkov pre  $^{199}\text{Fr}$  [Kal13] boli publikované informácie o rozpade tohto izotopu aj z experimentu na separátore RITU v JYFL [Uus13]. Na RITU priradili rozpadu  $^{199}\text{Fr}$  tri  $\alpha$  čiary:  $E_\alpha = 7644(20)$  keV,  $T_{1/2} = 5_{-2}^{+7}$  ms z rozpadu základného stavu  $1/2^+$  (3 eventy),  $E_\alpha = 7668(15)$  keV,  $T_{1/2} = 7_{-2}^{+3}$  ms z rozpadu stavu  $7/2^-$  (17 even-tov), a  $E_\alpha = 7808(20)$  keV,  $T_{1/2} = 1.6_{-0.6}^{+1.6}$  ms z rozpadu stavu  $13/2^+$  (4 eventy).

Naše dátá potvrdzujú rozpadové vlastnosti  $^{199}\text{Fr}$  namerané na separátore GARIS, a taktiež potvrdzujú dve  $\alpha$  čiary zaznamenané na RITU. Rozpad s energiou  $7808(20)$  keV a dobu polpremeny  $1.6_{-0.6}^{+1.6}$  ms registrovaný na RITU sme pre izotop  $^{199}\text{Fr}$  nepozorovali. Aktivitu s podobnou energiou a dobu polpremeny sme v dátach zaznamenali, avšak priradili sme ju izotopu  $^{198}\text{Fr}$ . Na RITU, naopak, pre  $^{198}\text{Fr}$  túto aktivitu nepozorovali.

Ťažšie neutrónovo-deficitné nepárno-párne izotopy francia majú základný stav  $9/2^-$  (viď Obr. 3(c)), ktorý má predpokladaný sférický tvar. Pre izotop  $^{199}\text{Fr}$  sme rozpad tohto stavu neregistrovali, ale zaznamenali sme rozpad stavu  $7/2^-$  a prípadne aj  $1/2^+$ . Nakoľko oba tieto stavy majú predpokladaný sploštený tvar, je možná počnúc  $A = 199$  zmena deformácie základného stavu oproti ťažším franciovým izotopom.

#### 4.2.2 Izotop $^{198}\text{Fr}$

Pokiaľ vieme, pred našou štúdiou neboli publikované žiadne experimentálne informácie o rozpade  $^{198}\text{Fr}$ . V našich meraniach sme v reakcii  $^{60}\text{Ni} + ^{141}\text{Pr}$  registrovali dva stavy rozpadajúce sa  $\alpha$  rozpadom s dobami polpremeny  $1.1(7)$  a  $15(3)$  ms a energiami v rozsahu  $(7580 - 7930)$  a  $(7470 - 7920)$  keV. Na základe korelácií týchto rozpadov s dcérskymi rozpadmi, ktoré svojimi vlastnosťami zodpovedali izotopu  $^{194}\text{At}$ , sme priradili materské rozpady izotopu  $^{198}\text{Fr}$ . Pre  $15(3)$ -ms stav sme registrovali aj indikáciu  $\alpha$  píku s energiou  $7710$  keV, ktorý predpokladáme, že populuje  $\sim 210$ -keV excitovanú hladinu v  $^{194}\text{At}$ . Maximálny účinný prierez pre súčet oboch stavov v  $^{198}\text{Fr}$  sme namerali pri energii zväzku  $282$  MeV, a mal hodnotu  $1.3(3)$  nb.

Krátko po našej štúdii rozpadu  $^{198}\text{Fr}$  [Kal13] bola publikovaná práca popisujúca rozpad tohto izotopu na RITU v JYFL [Uus13]. Na RITU pozorovali dve  $\alpha$  čiary priradené  $^{198}\text{Fr}$  s energiami  $7613(15)$  a  $7684(15)$  keV a dobami polpremeny  $15_{-5}^{+12}$  a  $16_{-5}^{+13}$  ms. Pre každú čiaru bolo registrovaných 5 rozpadových reťazcov. Na RITU neboli pozorované rozpady  $1.1(7)$ -ms stavu, ktorý sme registrovali v našom meraní. Nepozorovanie tohto stavu na RITU je v súlade s našimi výsledkami, nakoľko rozpad  $1.1(7)$ -ms stavu sme pozorovali s relatívou intenzitou iba  $15(5)\%$  oproti  $85(5)\%$  pre  $15(3)$ -ms stav.

#### 4.2.3 Izotop $^{197}\text{Fr}$

V reakcii  $^{60}\text{Ni} + ^{141}\text{Pr}$  pri energii zväzku  $300$  MeV sme registrovali rozpad jedného jadra nového izotopu  $^{197}\text{Fr}$ . Identifikácia bola urobená na základe korelácie so známymi dcérskymi  $\alpha$  rozpadmi  $^{193}\text{At}$  a  $^{189}\text{Bi}$ . Meraná energia  $\alpha$  rozpadu  $^{197}\text{Fr}$  bola  $7728(15)$  keV a doba polpremeny  $0.6_{-0.3}^{+3.0}$  ms. Keďže sme daný prechod vyhodnotili ako nepotlačený, priradili sme rozpada júcemu sa stavu v  $^{197}\text{Fr}$  spin a paritu  $7/2^-$  podľa spinu a parity  $7/2^-$  v dcérskom jadre  $^{193}\text{At}$ . Účinný prierez produkcie  $^{197}\text{Fr}$  bol  $18_{-15}^{+41}$  pb.

Registrovaný  $\alpha$  rozpad  $^{197}\text{Fr}$  má nezvyčajne vysokú redukovanú šírku,  $600_{-300}^{+2900}$  keV, aj keď hodnota je zaťažená veľkou neistotou. Aj niektoré ďalšie nuklidy v blízkosti  $^{197}\text{Fr}$  majú vysoké redukované šírky  $\alpha$  rozpadow, dokonca vyššie než rozpady vedúce na dvojito-magické jadrá  $^{100}\text{Sn}$  a  $^{208}\text{Pb}$ .

Pre porozumenie tomuto javu je potrebné uskutočniť meranie s oveľa vyššou štatistikou.

## 5 Záver

V autoreferáte sú v stručnosti prezentované výsledky dizertačnej práce. Hlavným cieľom práce bolo vyhodnotenie rozpadových vlastností neutrónovo-deficitných rádií a francií. Dáta pre tieto izotopy boli získané v dvoch experimentoch realizovaných na rýchlostnom separátore SHIP v GSI, Darmstadt a boli analyzované metódami rozpadovej  $\alpha$  a  $\gamma$  spektroskopie.

Výsledkom analýz bola identifikácia nového izotopu  $^{197}\text{Fr}$ , identifikácia nových izomérnych stavov rozpadajúcich sa  $\alpha$  rozpadom v izotopoch  $^{201}\text{Ra}$  a  $^{198}\text{Fr}$  a výrazné spresnenie rozpadových vlastností pre izotopy  $^{202}\text{Ra}$  a  $^{199}\text{Fr}$ . Tiež boli identifikované krátkožijúce izomérne stavy rozpadajúce sa vnútornými prechodmi v izotopoch  $^{200}\text{Fr}$  a  $^{201}\text{Fr}$  a oneskorené štiepenie po  $\beta$  premene v izotope  $^{200}\text{Fr}$ . Okrem toho boli potvrdené známe rozpadové vlastnosti pre izotopy  $^{203}\text{Ra}$  a  $^{202}\text{Fr}$ .

V izotope  $^{199}\text{Fr}$  bol registrovaný rozpad stavu  $7/2^-$ , a prípadne aj  $1/2^+$ . Oba stavy majú predpokladaný sploštený tvar. Avšak ďažšie nepárno-párne izotopy francia majú základný stav  $9/2^-$ , ktorý má predpokladaný sférický tvar. Je preto možné, že počnúc hmotnosťným číslom 199 sa v izotopoch francia mení tvar základného stavu na sploštený zo sférického u ďažších izotopov.

Vyhodnotená redukovaná šírka  $\alpha$  rozpadu v  $^{202}\text{Ra}$  ukazuje pokračovanie narastajúcich redukovaných šírok s klesajúcim počtom neutrónov pre párnopárne izotopy rádia. Podobný trend bol pozorovaný v predošlých meraniach aj pre susedné párnopárne izotopy tória [Her10] a radónu [And06, Ket01]. Vysoká hodnota redukowanej šírky  $\alpha$  rozpadu bola vyhodnotená aj pre nepárno-párny izotop  $^{197}\text{Fr}$ . Aj keď jej neistota je veľká (kedže bol registrovaný len jeden event), izotop  $^{197}\text{Fr}$  rozširuje počet izotopov v tejto oblasti, kde hodnoty redukovaných šírok  $\alpha$  rozpadov sú porovnateľné alebo dokonca vyššie než redukované šírky prechodov vedúcich na dvojito magické jadrá  $^{100}\text{Sn}$  a  $^{208}\text{Pb}$ . Na bližšie preskúmanie tohto javu sú potrebné dáta s vyššou štatistikou.

Výsledky prezentované v dizertačnej práci boli publikované v karentovaných časopisoch a prezentované na medzinárodných konferenciách. Cieľ práce bol splnený.

## Summary

The main goal of the Thesis was to investigate decay properties of neutron-deficient radium and francium isotopes. Data for these isotopes were collected

in two experiments performed at the velocity filter SHIP at GSI, Darmstadt and were analyzed by the methods of  $\alpha$ - and  $\gamma$ -decay spectroscopy. Decay properties of nine isotopes were studied:

- $^{201-203}\text{Ra}$  and  $^{200-202}\text{Fr}$  produced in the fusion-evaporation reactions  $^{56}\text{Fe} + ^{149}\text{Sm}$  and  $^{56}\text{Fe} + ^{147}\text{Sm}$ ,
- $^{197-199}\text{Fr}$  produced in the fusion-evaporation reaction  $^{60}\text{Ni} + ^{141}\text{Pr}$ .

The main results on these isotopes are:

**$^{202}\text{Ra}$**  For  $^{202}\text{Ra}$ , significantly improved data were collected compared to previous studies. An  $\alpha$ -decay energy of  $7722(7)$  keV and a half-life of  $3.8_{-0.8}^{+1.3}$  ms were determined. The evaluated reduced  $\alpha$ -decay width of  $210_{-50}^{+70}$  keV presents an increase of reduced  $\alpha$ -decay widths with decreasing neutron number for even- $A$  radium isotopes. Similar trend was also observed for neighboring even- $A$  radon [And06, Ket01] and thorium [Her10] isotopes.

**$^{201}\text{Ra}$**  A new  $\alpha$ -decaying state in  $^{201}\text{Ra}$  was identified yielding an  $\alpha$ -decay energy of  $7842(12)$  keV and a half-life of  $8_{-4}^{+40}$  ms. Decay was attributed to the  $3/2^-$  state.

**$^{200}\text{Ra}$**  An upper limit of 30 pb was determined for the production cross section of  $^{200}\text{Ra}$  in the reaction  $^{56}\text{Fe} + ^{147}\text{Sm}$  at the expected maximum for the  $^{200}\text{Ra}$  excitation function.

**$^{201}\text{Fr}$**  Known  $\alpha$ -decay data for  $^{201}\text{Fr}$  were confirmed both for the ground  $9/2^-$  state and the intruder  $1/2^+$  state. An indication of a short-lived isomeric state with a half-life of  $0.7_{-0.2}^{+0.5}\ \mu\text{s}$  decaying by internal transition(s) was observed for this isotope. A tentative spin and parity of  $13/2^+$  was attributed to this state.

**$^{200}\text{Fr}$**  Known  $\alpha$ -decay data for  $^{200}\text{Fr}$  were confirmed. For the  $\alpha$ -decay daughter of  $^{200}\text{Fr}$ ,  $^{196}\text{At}$ , a new  $\alpha$  line at  $6732(8)$  keV was observed. A hint for a short-lived isomeric state with a half-life of  $0.6_{-0.2}^{+0.5}\ \mu\text{s}$  in  $^{200}\text{Fr}$  decaying by internal transition(s) was observed. A process of  $\beta$ -delayed fission in  $^{200}\text{Fr}$  was identified with the probability of more than 1.4 %.

**$^{199}\text{Fr}$**  Improved  $\alpha$ -decay data compared to previous studies were collected for  $^{199}\text{Fr}$ . Two possible decay schemes for this isotope were proposed: one of them considers the existence of two  $\alpha$ -decaying states ( $1/2^+$  and  $7/2^-$ ) in  $^{199}\text{Fr}$  with similar decay properties:

- $E_\alpha = 7664(11)$  keV,  $T_{1/2} = 4.5_{-1.3}^{+3.1}$  ms for the  $1/2^+$  state and

- $E_\alpha = 7676(6)$  keV,  $T_{1/2} = 6.2^{+1.1}_{-0.8}$  ms for the  $7/2^-$  state.

The second scenario considers only one  $\alpha$  decaying state in  $^{199}\text{Fr}$  with  $E_\alpha = 7675(6)$  keV and  $T_{1/2} = 6.0^{+1.0}_{-0.7}$  ms. This state would have spin and parity  $7/2^-$ . To confirm one of the scenarios, more statistics is needed. Both the  $7/2^-$  and  $1/2^+$  states are presumably associated with an oblate deformation. As decays of the presumably spherical  $9/2^-$  state, which is the ground state in heavier odd- $A$  francium isotopes, were not observed in  $^{199}\text{Fr}$ , a possible change in the ground-state deformation from spherical to oblate may occur in francium isotopes starting from  $A = 199$ .

**$^{198}\text{Fr}$**  The first  $\alpha$ -decay data for the  $^{198}\text{Fr}$  isotope were published. The measured  $\alpha$ -decay energy range for this isotope was  $(7470 - 7930)$  keV. The energy and time distribution of  $\alpha$  decays indicated the presence of two states in  $^{198}\text{Fr}$  with half-lives of  $1.1(7)$  and  $15(3)$  ms.

**$^{197}\text{Fr}$**  A new isotope,  $^{197}\text{Fr}$ , was observed based on one  $\alpha$ -decay chain. The measured  $\alpha$ -decay energy for  $^{197}\text{Fr}$  was  $7728(15)$  keV and a half-life was  $0.6^{+3.0}_{-0.3}$  ms. The decay was assumed to originate from the  $7/2^-$  state. A remarkably high value of reduced  $\alpha$ -decay width,  $0.6^{+2.9}_{-0.3}$  MeV, was evaluated for this transition.

**$^{203}\text{Ra}, ^{202}\text{Fr}$**  For  $^{203}\text{Ra}$ , decays of the  $3/2^-$  and  $13/2^+$  states were registered and for  $^{202}\text{Fr}$ , decays of the  $3^+$  and  $10^-$  states were observed. Measured  $\alpha$ -decay energies and half-lives for these states confirmed the known values.

A high value of reduced  $\alpha$ -decay width for  $^{202}\text{Ra}$  evaluated in this work shows a further increase of reduced  $\alpha$ -decay widths with decreasing neutron-number for even- $A$  radium isotopes. Similar trend was also observed for neighboring even- $A$  radon [And06, Ket01] and thorium [Her10] isotopes in previous measurements. A remarkably high value of reduced  $\alpha$ -decay width was also evaluated for the odd-even  $^{197}\text{Fr}$  isotope. Although the uncertainty is large (as only one event was detected), the  $^{197}\text{Fr}$  isotope extends the number of isotopes in this region, whose reduced  $\alpha$ -decay widths are comparable with or even higher than reduced  $\alpha$ -decay widths of transitions leading to regions of doubly-magic  $^{100}\text{Sn}$  and  $^{208}\text{Pb}$ . To investigate this phenomenon in more detail, experimental data with higher statistics are necessary.

The results were published in several articles of international journals and were presented at international conferences. The goal of the Thesis has been

achieved.

## Publikácie

Publikácie v karentovaných časopisoch súvisiace s problematikou dizertačnej práce:

- **Decay of  $^{201-203}\text{Ra}$  and  $^{200-202}\text{Fr}$**

Z. Kalaninová, S. Antalic, A.N. Andreyev, F.P. Heßberger, D. Ackermann, B. Andel, L. Bianco, S. Hofmann, M. Huyse, B. Kindler, B. Lommel, R. Mann, R.D. Page, P.J. Sapple, J. Thomson, P. Van Duppen, M. Venhart  
*Phys. Rev. C* **89**, 054312 (2014)

- **New developments of the in-source spectroscopy method at RILIS/ISOLDE**

B. A. Marsh, B. Andel, A. N. Andreyev, S. Antalic, D. Atanasov, A. E. Barzakh, B. Bastin, Ch. Borgmann, L. Capponi, T. E. Cocolios, T. Day Goodacre, M. Dehairs, X. Derkx, H. De Witte, D. V. Fedorov, V. N. Fedoseev, G. J. Focker, D. A. Fink, K. T. Flanagan, S. Franchoo, L. Ghys, M. Huyse, N. Imai, Z. Kalaninova, U. Köster, S. Kreim, N. Kesteloot, Yu. Kudryavtsev, J. Lane, N. Lecesne, V. Liberati, D. Lunney, K. M. Lynch, V. Manea, P. L. Molkanov, T. Nicol, D. Pauwels, L. Popescu, D. Radulov, E. Rapisarda, M. Rosenbusch, R. E. Rossel, S. Rothe, L. Schweikhard, M. D. Seliverstov, S. Sels, A. M. Sjödin, V. Truesdale, C. Van Beeren, P. Van Duppen, K. Wendt, F. Wienholtz, R. N. Wolf, S. G. Zemlyanoy  
*Nucl. Instr. and Meth. B* **317**, 550 (2013)

- **$\beta$ -delayed fission and  $\alpha$  decay of  $^{178}\text{Tl}$**

V. Liberati, A.N. Andreyev, S. Antalic, A. Barzakh, T.E. Cocolios, J. Elseviers, D. Fedorov, V.N. Fedoseev, M. Huyse, D.T. Joss, Z. Kalaninová, U. Köster, J.F.W. Lane, B. Marsh, D. Mengoni, P. Molkanov, K. Nishio, R.D. Page, N. Patronis, D. Pauwels, D. Radulov, M. Seliverstov, M. Sjödin, I. Tsekhanovich, P. Van den Bergh, P. Van Duppen, M. Venhart, M. Veselský  
*Phys. Rev. C* **88**, 044322 (2013)

- **$\alpha$  decay of the very neutron-deficient isotopes  $^{197-199}\text{Fr}$**

Z. Kalaninová, A.N. Andreyev, S. Antalic, F.P. Heßberger, D. Ackermann, B. Andel, M.C. Drummond, S. Hofmann, M. Huyse, B. Kindler, J.F.W. Lane, V. Liberati, B. Lommel, R.D. Page, E. Rapisarda, K. Sandhu, Š. Šáro, A. Thornthwaite, P. Van Duppen  
*Phys. Rev. C* **87**, 044335 (2013)

- **$\beta$ -delayed fission of  $^{192,194}\text{At}$**

A.N. Andreyev, S. Antalic, D. Ackermann, L. Bianco, S. Franchoo, S. Heinz, F.P. He-

ßberger, S. Hofmann, M. Huyse, Z. Kalaninová, I. Kojouharov, B. Kindler, B. Lommel, R. Mann, K. Nishio, R.D. Page, J.J. Ressler, B. Streicher, Š. Šáro, B. Sulignano, P. Van Duppen  
*Phys. Rev. C* **87**, 014317 (2013)

- **Nuclear structure of heavy  $N = 153$  isotones**

S. Antalic, F.P. Heßberger, D. Ackermann, M. Block, S. Heinz, , S. Hofmann, Z. Kalaninová, B. Kindler, M. Leino, B. Lommel, R. Mann, K. Nishio, Š. Šáro, B. Sulignano  
*Acta Physica Polonica B* **44**, 387 (2013)

- **Alpha-gamma decay studies of  $^{253}\text{No}$  and its daughter products  $^{253}\text{Md}$ ,  $^{249}\text{Fm}$**

F.P. Heßberger, S. Antalic, D. Ackermann, Z. Kalaninová, S. Heinz, S. Hofmann, B. Streicher, B. Kindler, I. Kojouharov, P. Kuusinniemi, M. Leino, B. Lommel, R. Mann, K. Nishio, Š. Šáro, B. Sulignano, M. Venhart  
*Eur. Phys. J. A* **48**, 75 (2012)

- **Isomeric states in  $^{253}\text{No}$  and  $^{253}\text{Fm}$**

S. Antalic, F.P. Heßberger, D. Ackermann, S. Heinz, S. Hofmann, Z. Kalaninová, B. Kindler, J. Khuyagbaatar, I. Kojouharov, P. Kuusiniemi, M. Leino, B. Lommel, R. Mann, K. Nishio, Š. Šáro, B. Streicher, B. Sulignano, M. Venhart  
*Eur. Phys. J. A* **47**, 62 (2011)

Ďalšie publikácie:

- **Decay of  $^{200,201}\text{Fr}$**

Z. Kalaninová, S. Antalic,, A.N. Andreyev, F.P. Heßberger, D. Ackermann, B. Andel, L. Bianco, S. Hofmann, M. Huyse, B. Kindler, B. Lommel, R. Mann, R.D. Page, P.J. Sapple, J. Thomson, P. Van Duppen, M. Venhart  
*odoslané do GSI SCIENTIFIC REPORT 2013*

- **Decay of  $^{201-203}\text{Ra}$**

Z. Kalaninová, S. Antalic,, A.N. Andreyev, F.P. Heßberger, D. Ackermann, B. Andel, L. Bianco, S. Hofmann, M. Huyse, B. Kindler, B. Lommel, R. Mann, R.D. Page, P.J. Sapple, J. Thomson, P. Van Duppen, M. Venhart  
*odoslané do GSI SCIENTIFIC REPORT 2013*

- **Alpha Decay of  $^{197-199}\text{Fr}$**

Z. Kalaninová, A.N. Andreyev, S. Antalic, F.P. Heßberger, D. Ackermann, B. Andel, M.C. Drummond, S. Hofmann, M. Huyse, B. Kindler, J.F.W. Lane, V. Liberati, B. Lommel, R.D. Page, E. Rapisarda, K. Sandhu, Š. Šáro, A. Thorntwaite, P. Van Duppen  
*GSI SCIENTIFIC REPORT 2012*, PHN-ENNA-EXP-04 (2013)

- **Spontaneous Fission Properties of  $^{259}\text{Sg}$  and  $^{255}\text{Rf}$**   
 F.P. Heßberger, S. Antalic, D. Ackermann, M. Block, S. Heinz, S. Hofmann, Z. Kalaninová, I. Kojouharov, J. Khuyagbaatar, B. Kindler, B. Lommel, R. Mann  
*GSI SCIENTIFIC REPORT 2012*, PHN-ENNA-06 (2013)
- **Geant 4 simulations of  $^{253}\text{No}$   $\alpha$  decay**  
Z. Kalaninová, S. Antalic, F.P. Heßberger, D. Ackermann, L.-L. Andersson, Š. Šáro  
*GSI SCIENTIFIC REPORT 2011*, PHN-NUSTAR-SHE-06 (2012)
- **Decay Study of  $^{254}\text{Sg}$**   
 F.P. Heßberger, S. Antalic, D. Ackermann, S. Heinz, S. Hofmann, Z. Kalaninová,  
 I. Kojouharov, J. Khuyagbaatar, B. Kindler, B. Lommel, R. Mann  
*GSI SCIENTIFIC REPORT 2011*, PHN-NUSTAR-SHE-05 (2012)

## Konferencie a workshopy

- **Alpha decay of  $^{197-199}\text{Fr}$  (Abstrakt)**  
Z. Kalaninová, A.N. Andreyev, S. Antalic, F.P. Heßberger, D. Ackermann and  
 B. Andel and M.C. Drummond, S. Hofmann, M. Huyse, J.F.W. Lane, V. Liberati,  
 B. Lommel, R.D. Page, E. Rapisarda, K. Sandhu, Š. Šáro, A. Thorntwaite,  
 P. Van Duppen  
 Workshop “Shape Coexistence Across the Chart of the Nuclides”, 15.–  
 16. 04. 2013, York (Spojené královstvo)  
*Abstract book*, p. 17 (2013)
- **Production and decay studies of  $^{197-202}\text{Fr}$  at SHIP (Abstrakt)**  
Z. Kalaninová, S. Antalic, A.N. Andreyev, F.P. Heßberger, D. Ackermann, B. Andel,  
 M.C. Drummond, S. Hofmann, M. Huyse, J.F.W. Lane, V. Liberati, R.D. Page,  
 E. Rapisarda, K. Sandhu, A. Thorntwaite, P. Van Duppen  
 Konferencia “Nuclear Structure and Related Topics”, 03.–07. 07. 2012,  
 Dubna (Rusko)  
*Abstract book*, p. 50 (2012)
- **Studies of very neutron-deficient radium and francium isotopes**  
Z. Kalaninová  
 17th Conference of Czech and Slovak Physicists, 05. – 08. 09. 2011,  
 Žilina (Slovakia)  
*Proceedings*, p. 57 (2012)
- **Decay studies of neutron deficient Ra and Fr isotopes (Rozšírený abstrakt)**

Z. Kalaninová

Študentská vedecká konferencia FMFI UK, 19. 04. 2011, Bratislava  
(Slovakia)

*Proceedings*, p. 213 (2011)

## Ohlasy na autorkine práce

- **CRIS: A new method in isomeric beam production**

K.M. Lynch, J. Billowes, M.L. Bissell, I. Budincevic, T.E. Cocolios, R.P. De Groote, S. De Schepper, V.N. Fedosseev, K.T. Flanagan, S. Franchoo, R.F. Garcia Ruiz, H. Heylen, B.A. Marsh, P.J.R. Mason, G. Neyens, T.J. Procter, R.E. Rossel, S. Rothe, G.S. Simpson, A.J. Smith, I. Strashnov, H.H. Stroke, P.M. Walker, K.D.A. Wendt, R.T. Wood

*EPJ Web of Conferences* **63**, 01007 (2013)

- **Collinear Resonance Ionization Spectroscopy of Neutron-Deficient Francium Isotopes**

K.T. Flanagan, K.M. Lynch, J. Billowes, M.L. Bissell, I. Budincevic, T.E. Cocolios, R.P. de Groote, S. De Schepper, V.N. Fedosseev, S. Franchoo, R.F.G. Ruiz, H. Heylen, B.A. Marsh, G. Neyens, T.J. Procter, R.E. Rossel, S. Rothe, I. Strashnov, H.H. Stroke, K.D.A. Wendt

*Phys. Rev. Lett* **111**, 212501 (2013)

- **Systematic calculations of  $\alpha$  decay properties based on results from recent experiments**

Yibin Qian, Zhongzhou Ren

*Phys. Rev. C* **88**, 044329 (2013)

- **Coupled-channel representation to describe fine structure in the alpha decay of odd-mass Bk isotopes**

Dongdong Ni, Zhongzhou Ren

*Phys. Rev. C* **88**, 014325 (2013)

- **Theoretical description of fine structure in the alpha decay of heavy odd-odd nuclei**

Dongdong Ni, Zhongzhou Ren

*Phys. Rev. C* **87**, 027602 (2013)

- **Comparison of the coupled-channel calculation with the WKB method for alpha-decay fine structure**

Dongdong Ni, Zhongzhou Ren

*AIP Conference Proceedings* **1533**, 109 (2013)

- Decay of the high- $K$  isomeric state to a rotational band in  $^{257}\text{Rf}$

J. Rissanen, R.M. Clark, K.E. Gregorich, J.M. Gates, C.M. Campbell, H.L. Crawford, M. Cromaz, N.E. Esker, P. Fallon, U. Forsberg, O. Gothe, I.Y. Lee, H.L. Liu, A.O. Machiavelli, P. Mudder, H. Nitsche, G. Pang, A. Rice, D. Rudolph, M.A. Stoyer, A. Wiens, F.R. Xu,  
*Phys. Rev. C* **88**, 044313 (2013)

- Nuclear Data Sheets for  $A = 251 - 259$  (odd)

E. Browne, J.K. Tuli  
*NUCLEAR DATA SHEETS* **114**, 1041 (2013)

- Ground-state configuration of the  $N = 157$  nucleus No-259

M. Asai, K. Tsukada, M. Sakama, H. Haba, T. Ichikawa, Y. Ishii, A. Toyoshima, T. Ishii, I. Nishinaka, Y. Nagame, Y. Kasamatsu, M. Shibata, Y. Kojima, H. Hayashi  
*Phys. Rev. C* **87**, 014332 (2013)

- Influence of proton shell closure on production and identification of new superheavy nuclei

A.N. Kuzmina, G.G. Adamian, N.V. Antonenko, W. Scheid  
*Phys. Rev. C* **85**, 014319 (2012)

- Influence of proton shell closure on production of new superheavy nuclei

A.N. Kuzmina, G.G. Adamian, N.V. Antonenko  
*EPJ Web of Conferences* **38**, UNSP 17004 (2012)

## Literatúra

- [And06] A.N. Andreyev *et al.*, *Phys. Rev. C* **74**, 064303 (2006).
- [And08] K. Andgren *et al.*, *Phys. Rev. C* **78**, 044328 (2008).
- [And13] A.N. Andreyev *et al.*, *Phys. Rev. Lett.* **110**, 242502 (2013).
- [Dyb83] K. Dybdal *et al.*, *Phys. Rev. C* **28**, 1171 (1983).
- [Her10] J.A. Heredia *et al.*, *Eur. Phys. J. A* **46**, 337 (2010).
- [Jak10] U. Jakobsson *et al.*, *Phys. Rev. C* **82**, 044302 (2010).
- [Jak12] U. Jakobsson *et al.*, *Phys. Rev. C* **85**, 014309 (2012).
- [Jak13] U. Jakobsson *et al.*, *Phys. Rev. C* **87**, 054320 (2013).
- [Kal13] Z. Kalaninová *et al.*, *Phys. Rev. C* **87**, 044335 (2013).
- [Kal14] Z. Kalaninová *et al.*, *Phys. Rev. C* **89**, 054312 (2014).
- [Ket01] H. Kettunen *et al.*, *Phys. Rev. C* **63**, 044315 (2001).
- [Lei96] M. Leino *et al.*, *Z. Phys. A* **355**, 157 (1996).
- [Mün79] G. Münzenberg *et al.*, *Nucl. Instr. and Meth.* **161**, 65 (1979).
- [nndc] Data extracted using the NNDC On-Line Data Service from the ENSDF database, URL: [www.nndc.bnl.gov](http://www.nndc.bnl.gov).
- [Rut11] E. Rutherford, *Phil. Mag.* **21**, 669 (1911).
- [Sau13] J. Sauvage *et al.*, *Eur. Phys. J. A* **49**, 109 (2013).
- [Tag99] Y. Tagaya *et al.*, *Eur. Phys. J. A* **5**, 123 (1999).
- [Uus05] J. Uusitalo *et al.*, *Phys. Rev. C* **71**, 024306 (2005).
- [Uus13] J. Uusitalo *et al.*, *Phys. Rev. C* **87**, 064304 (2013).